

Установлено, что T_e , T_i и n_e в И. резко растут до области F (табл. и рис. 2); в верх. части И. рост T_i замедляется, а n_e выше области F уменьшается с высотой сначала постепенно до высот 15—20 тыс. км (т. н. и л а з м о п а у з а), а потом более резко, переходя к низким концентрациям n_e в межпланетной среде.

Характеристики И. изменяются с широтой; различают среднеширотную, экваториальную, авроральную и полярную И., из к-рых наиб. регулярна среднеширотная. Наблюдаются спокойные и возмущенные состояния

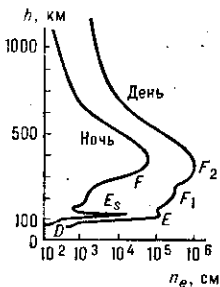


Рис. 2. Типичное распределение по вертикали электронной концентрации n_e в ионосфере; буквами отмечено положение различных областей.

И. Структура спокойной И. регулярно изменяется во времени: в течение дня, сезона и 11-летнего солнечного цикла. От минимума к максимуму солнечного цикла n_e изменяется от n_e^{\min} до n_e^{\max} , растут темпера и высота слоёв И. (табл.).

Значения характеристик основных областей ионосферы для средних широт

Область ионосферы	Высота максимума, км	T_i , К	День		Ночь n_e , см ⁻³	α' , см ³ с ⁻¹
			n_e^{\min} , см ⁻³	n_e^{\max} , см ⁻³		
D	70	220	100	200	10	10^{-6}
E	110	270	$1.5 \cdot 10^6$	$3 \cdot 10^5$	3000	10^{-7}
F_1	180	800—1500	$3 \cdot 10^5$	$5 \cdot 10^5$	—	$3 \cdot 10^{-8}$
F_2 (зима)	220—280	1000—1000	$6 \cdot 10^5$	$25 \cdot 10^5$	$\sim 10^5$	$2 \cdot 10^{-10}$
F_2 (лето)	250—320	2000	$2 \cdot 10^5$	$8 \cdot 10^5$	$\sim 3 \cdot 10^4$	10^{-10}

Образование ионосферы. В И. непрерывно протекают процессы ионизации и рекомбинации. Наблюдаемые в И. концентрации ионов и электронов есть результат баланса между скоростью их образования в процессе ионизации и скоростью уничтожения за счёт рекомбинации и др. процессов. Источники ионизации и процессы рекомбинации разные в разл. областях И.

Основным источником ионизации И. днём является коротковолновое излучение Солнца с длиной волны $\lambda \leq 1038 \text{ \AA}$, однако важны также и корпускулярные потоки, галактические и солнечные космические лучи и др. Каждый тип ионизующего излучения оказывает наиб. действие на атмосферу лишь в определ. областях высот, соответствующих его проникающей способности. Так, коротковолновое излучение Солнца с $\lambda = 85-911 \text{ \AA}$ большую часть ионов образует в И. в области 120—200 км (но действует и выше), тогда как излучение с $\lambda = 911-1038 \text{ \AA}$ вызывает ионизацию на высотах 95—115 км, т. е. в области E , а рентг. излучение с λ короче 85 \AA — в верх. части области D на высотах 85—100 км. В ниж. части области D , ниже 60—70 км днём и ниже 80—90 км ночью, ионизация осуществляется т. н. галактическими лучами. Существенный вклад в ионизацию области D на высотах ок. 80 км вносят корпускулярные потоки (напр., электроны с энергией $\leq 30-40 \text{ кэВ}$), а также солнечное излучение первой линии серии Лаймана (L_α) водорода с $\lambda = 1215.7 \text{ \AA}$ (см. Спектральная серия).

Кроме обычных условий ионизации, во время солнечных вспышек вследствие излучения вызывает внезапное возмущение в ниж. части И. Через неск. часов после солнечных вспышек в атмосферу Земли проникают также солнечные космические лучи, к-рые вызывают повыш. ионизацию на высотах 50—100 км,

особенно сильную в полярных шапках (областях вблизи магн. полюса). В этой зоне в отд. периоды времени действуют потоки протонов и электронов, к-рые вызывают не только ионизацию, но и заметное свечение атмосферы (полярные сияния) на высотах 100—120 км, но они действуют и ниже, в области D . Во время магн. бурь эти потоки корпукул усиливается, а зона их действия расширяется к более низким широтам (иногда т. н. низкоширотные красивые сияния наблюдают на широте Москвы и южнее). Когда в межпланетном пространстве в районе Земли возрастает солнечный корпускулярный поток, к-рый задерживается магнитосферой, происходит не только возмущение геомагн. поля (магнитная буря), но изменяются радиационные пояса Земли, усиливаются корпускулярные потоки в зоне полярных сияний и т. д. При этом происходит также дополнит. разогревание верх. атмосферы и изменяются условия ионизации И. В свою очередь, изменения И. и движения в ней влияют на вариации геомагн. поля и др. явления в верх. атмосфере.

Процессом, обратным ионизации, является процесс нейтрализации, или рекомбинации. Механизм рекомбинации изменяется с высотой. Обычная радиоактивная рекомбинация эффективна лишь выше ~1000 км, где концентрация атомных ионов на 5 порядков выше концентрации молекулярных. В осн. части И. происходит диссоциативная рекомбинация молекулярных ионов с коэф. $\sim 10^{-7} \sqrt{300/T_e} \text{ см}^3 \text{ с}^{-1}$. На малых высотах ниже ~70 км (где $n_e \ll n_i$) преобладает процесс взаимной нейтрализации ионов, или отриц. ионов, или ион-ионная рекомбинация, с участием стабилизирующей пейтальской частицы (рекомбинация Томсона). Скорость исчезновения ионов в И. характеризуется эффективным коэф. рекомбинации α' , к-рый определяет величину n_e и её изменение во времени. Значения α' для разл. областей И. различны (табл. и рис. 3).

Наряду с рассмотренными выше процессами в области F существенны процессы амбиополярной диффузии и дрейфового переноса.

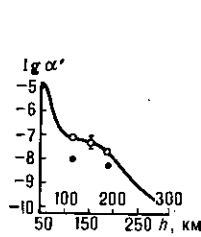


Рис. 3. Среднее измеренное значение эффективного коэффициента рекомбинации α' на высотах 50—300 км.

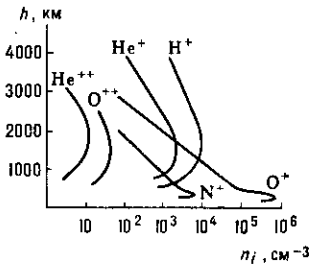


Рис. 4. Распределение с высотой концентрации ионов в верхней части ионосферы.

Состав ионосферы. Ионный состав И. отличается от первичного ионного состава, образующегося при ионизации верх. атмосферы солнечным излучением, в связи с тем, что в ней происходят физ.-хим. процессы трёх типов: ионизация, ионно-молекулярные реакции и рекомбинации, соответствующие трём стадиям жизни ионов — их образованию, превращениям и уничтожению. В разных областях И. каждый из этих трёх процессов проявляется по-своему, что приводит к различию ионного состава по высоте. Так, днём на высотах 85—200 км преобладают положит. молекулярные ионы NO^+ и O_2^+ ; концентрация ионов N_2^+ на 3 порядка меньше концентрации ионов NO^+ . Выше 200 км в области F преобладают атомные ионы O^+ , а выше 600—1000 км — протоны H^+ . Ниже 70—80 км существенно образование комплексных ионов-гидратов типа $(\text{H}_2\text{O})_n\text{H}^+$, а также отриц. ионов, из к-рых наиб. стабильны ионы O_2^- , NO_3^- и HCO_3^- . Отриц. ионы наблюдаются лишь в области D .